

また  $20\text{ mm}\phi$  および  $40\text{ mm}\phi$  いずれのノズルの場合も特殊ノズルならびに普通ノズルはそれぞれ同形のものであつた。同一形状のノズルで同一 head であつても流出 jet の形状はわずかの周囲の条件の差によりかなり大きなばらつきがあつた。

各実験番号についての撮影写真により乱流から層流へ、また層流から滴下流への遷移の状況の概要を調査すると Table 4 のとおりである。わずかの乱流の程度の写真判定はかなり困難であるが、前回報告の水銀実験の例では、jet の写真判定ではほとんど区別できない程度の乱流でもすでに空気の巻き込みはかなりはげしく起つていた。

滴下流については明らかに写真判定が可能であり、また  $20\text{ mm}\phi$  ノズルの場合は予想以上にその範囲が大きであつた。

#### IV. 結 言

$20\text{ mm}\phi$  および  $40\text{ mm}\phi$  の実用ノズルを使用し、熔鉄の流出実験を行つた結果おおむねつぎの結論が得られた。

(1)  $40\text{ mm}\phi$  の特殊ノズルは普通ノズルに比して高い head ( $900\text{ mm}$ ) における乱流の範囲が相当にせまく、 $920\text{ mm}$  head の取鍋より注入の場合はほとんど大部分が層流であつた。 $40\text{ mm}\phi$  普通ノズルの場合は head  $700\text{ mm}$  以上ではかなりの乱流が認められている。

(2) 低い head における層流により滴下流への遷移は  $40\text{ mm}\phi$  の特殊ノズルと普通ノズルとの間にはほとんど差異を認めないが、特殊ノズルの方がやや良好のようである。

(3)  $20\text{ mm}\phi$  ノズルの場合は高い head における乱流は両ノズルともほとんど認められなかつた。

(4)  $20\text{ mm}\phi$  ノズルの場合、層流より滴下流への遷移は特殊ノズルは普通ノズルに比して良好であつた。特殊ノズルの場合は取鍋内 head  $200\text{ mm}$  より、また普通ノズルの場合は  $340\text{ mm}$  より滴下流となる。

以上の事柄は Fig. 4 (Fig. 4 略) に示すごとく前回水銀による基礎実験としてすでに報告した jet の特性曲線とよく一致している。

また今回の熔鉄流出実験では最高 head  $920\text{ mm}$  まで試験したが、平炉用大型取鍋では  $2\text{ m}$  以上の head におよぶものがある。かかる高 head より流出する jet の安定性におよぼすノズル形状、注入操作の影響などを明らかにする必要があるのであるが、そのためにはなお幾多の未解決の問題が残つている。ここでは一応今までの実験結果よりノズル、取鍋の構造、取扱いなどについて

2, 3 の意見をのべることとした。

#### (42) 熔鉄の窒素吸収におよぼす C, Si および Mn の影響

(熔鉄の窒素吸収について—I)

Effects of Carbon, Silicon and Manganese on the Absorption of Nitrogen by Molten Iron.

(Absorption of nitrogen by molten iron—I)

Yoshitaka Nakagawa, et alius.

日本製鋼所、室蘭製鉄所

前川 静弥・○中川 義隆

#### I. 緒 言

製鋼過程における熔鋼中の N の挙動は重要であつて、2, 3 の鋼種においては N 量の調節を必要とする場合もある。またオーステナイト結晶粒度にも大きく影響することとは周知のごとくである。熔鉄中の N の吸収についての研究はかなり発表されているがその結果は必ずしも一致していない。

筆者らは多成分系熔鉄の N の吸収について調査する目的で純鉄、Fe—C, Fe—Mn, Fe—Si 系熔鉄の N の吸収を測定した。本報告においてはこれらの測定結果について報告する。

#### II. 実 験 方 法

##### (1) 要 旨

一気圧の  $\text{N}_2$  ガス雰囲気で熔鉄を保持し、一定時間ごとに試料を吸引採取し、これを分析して N の吸収量を求めた。

##### (2) 装 置

装置は A ガス  $\text{H}_2$  ガスおよび  $\text{N}_2$  ガス清浄装置と Fig. 1 に示すごとき反応管より成つている。

ガス清浄は濃硫酸→クロム硫酸混液→アルカリピロガロール液→還元銅炉→苛性カリ→五酸化リンの系列よりなつている。

$\text{N}_2$  の脱酸のためにはごく少量の  $\text{H}_2$  をあらかじめ混合し上の系列の他に白金アスペスト炉を通した後苛性カリ→五酸化リンを経て反応管に導入した。

反応管は透明石英管で高アルミナ質坩堝によつて保護した電融アルミナ質坩堝（内径  $30\text{ mm}$  高さ  $50\text{ mm}$ ）をおさめ、この内で試料を高周波炉（水銀ギャップ式  $10\text{ KVA}$ ）で熔解した。

分析試料は図に示すごとく二重掘り合せ注射管の内管の先に取付けた内径  $3\sim4\text{ mm}$  の不透明石英管製試料吸



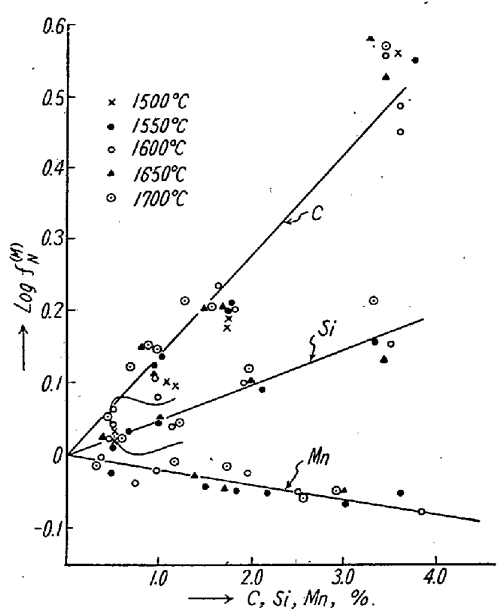


Fig. 3. Relations between  $\log f_N^{(M)}$  and concentration of carbon, silicon and manganese.

したがつて

$$\log f_{N(C)} = 0.135\%C \quad C < 4\% \quad 1500 \sim 1700^\circ C$$

$$\log f_{N(Si)} = 0.048\%Si \quad Si < 4\% \quad 1550 \sim 1700^\circ C$$

$$\log f_{N(Mn)} = -0.020\%Mn \quad Mn < 4\% \quad 1550 \sim 1700^\circ C$$

これらを従来の研究と比較すると

Fe-C 系熔鉄に対しては

$$\text{Chipman} \text{ は } \log f_{N(C)} = 0.13 \%C$$

$$\text{的場, 笠松} \text{ は } \log f_{N(C)} = 0.147 \%C$$

をまた Langenberg らも同程度の値を示していて、筆者らの値とほぼ一致する。

Fe-Si 熔鉄に関して Chipman らの実測では Si 約 2 %までは N の熔解度は増加し以後逐次減少するとしている。

これらの相異については別途検討中であるので省略するが、いずれにしても本実験方法では上述の結果を示した。

Fe-Mn 熔鉄については Langenberg らは

$$\log f_{N(Mn)} = -0.025\%Mn \quad 1600^\circ C$$

を示していて筆者らの値と大体一致する。

#### (43) 鋼塊の偏析について

(ラヂオアイソトープ $^{32}\text{P}$ による鋼塊の磷の偏析に関する研究—I)

Segregation of Steel Ingots.

(Study on the segregation of P in steel ingots—I)

Yoshio Harada, et alii.

宇部興産宇部鉄工所 ○工 原田 良夫

〃 工 小路 豪

〃 中央研究所 工 浜田 伯夫

#### I. 緒 言

鋼の研究にラジオアイソトープをトレーサーとして利用することが有効な方法であることは早くから知られていた。筆者たちは  $^{32}\text{P}$  を用い鋼中の P の挙動を研究した。

ここでは  $^{32}\text{P}$  の鋼中への添加法、精錬中の P の挙動、および鋼塊の P の偏析を GM 計数管とオートラジオグラフィで調べた。

#### II. 実験方法

##### (1) $^{32}\text{P}$ の鋼への添加法

$^{32}\text{P}$  は半減期 14.3 日で、1.70 MeV のエネルギーを持つ  $\beta$  線を出す。これはトレーサー実験には適当な半減期であり、エネルギーである。

実験を 1 t 塩基性電気炉および 2 t 酸性電気炉で行うため  $^{32}\text{P}$  の 1 回の使用量を 10mc とした。

まず入手した  $^{32}\text{P}$  は  $\text{H}_3^{32}\text{P O}_4$  の塩酸酸性溶液であるのでこれを磷酸鉄とした。磷酸鉄を乾燥後還元剤として珪素鉄粉を十分量加え、鉄製容器に密封して電気炉炉底中央部におき鉄屑とともに溶解した。

##### (2) 試料の作製と $\beta$ 線の測定法

電気炉で溶解した鋼をスプンで取り出しアルミで脱酸後径 32 mm、高さ 40 mm の金型に鋳込み、水冷後一面をグラインダー仕上した。これを Fig. 1 に示す GM 計

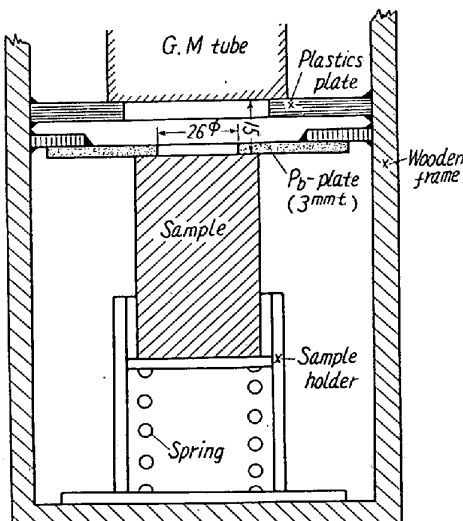


Fig. 1. Apparatus of  $\beta$  ray measurement.

数管の試料棚に下からスプリングで押しつけ、径 26mm の窓を通して測定した。